

# رمزدھی ویژه‌ی الگوریتم توارثی برای تعیین بهینه‌ی دسته‌ی شتاب‌نگاشت‌ها

محسن شهروزی<sup>\*</sup> (استادیار)

جعفر کووانی (استادیار)

سعیده سیف (کارشناس ارشد)

دانشکده‌ی فنی، دانشگاه خوارزمی

مهمنگی عرض شرف، (پیزد ۱۳۹۲)، دوری ۳-۴، شماره ۳، ص. ۶۹-۷۶

تهییی شتاب‌نگاشت و طیف ویژه‌ی ساختگاه برای تحلیل‌های غیرخطی و خطی دینامیکی خود مستلزم انجام پروژه‌های تحلیل خطر است که در مواردی توجیه کافی یا امکان اجرایی ندارد. از جمله در مورد بافت قدیمی ساختمان‌های شهری و میراث فرهنگی که با محدودیت‌های اجرایی یا اقتصادی برای گمانه‌زنی و شناسایی ساختگاه همراه است. در مواردی از این قبیل، یک راه حل کاربردی، انتخاب تعداد محدودی زلزله از کاتالوگ زمین‌لرزه‌های گذشته است؛ طوری که طیف حاصل از مجموعه‌ی آن‌ها دارای بیشترین مطابقت با طیف مبنی در استاندارد طراحی باشد، تا با حجم محاسبات کمتر تضمیم‌گیری بهتری براساس پاسخ‌های حاصل با وجاهت آینن‌نامه‌ی طراحی تأمین شود. در این پژوهش، الگوریتم توارثی با شیوه‌ی نوین رمزدھی صحیح برای حل این مسئله‌ی بهینه‌یابی گنسنیه‌ضمون ویژه‌سازی عملگرگهای آن ارائه شده است. کاری روش گسترش‌یافته طی چند مثال از مجموعه‌ی شتاب‌نگاشت‌ها، برای بهبود تطبیق طیفی ارزیابی و طی بحث نظری نوآوری‌های روش تبیین شده است.

shahruzi@khu.ac.ir  
jkeyvani@khu.ac.ir  
seif'8120@yahoo.com

واژگان کلیدی: تعیین شتاب‌نگاشت، بهینه‌یابی، الگوریتم توارثی، رمزدھی

## مقدمه

تفسیرهای مختلفی از رد یا قبول یک سازه‌ی واحد منجر می‌شود و طراح را دچار سردگمی خواهند کرد.<sup>[۷،۸]</sup> موارد اخیر، لزوم جستجوی منظم مطلوب‌ترین دسته‌ی شتاب‌نگاشت را برای تطبیق طیفی بیشینه با طیف استاندارد ضمن رعایت ضوابط فوق آشکار می‌سازد. انتخاب تعداد معین (۳ یا ۷ زوج) شتاب‌نگاشت از میان تعداد زلزله‌های موجود منجر به گزینه‌های متعدد ترکیباتی می‌شود و باید در قالب یک مسئله‌ی بهینه‌یابی فرمول‌بندی شود.

همچنین ضرایب مقیاس یکسان الزاماً مناسب نیستند و لذا باید بهینه‌شوند. در این نوشتار، کاربرد الگوریتم توارثی به منزله‌ی یک روش عمومی و معتبر فراکاوشی برای حل این مسئله طی فرمول‌بندی‌های بخش بعد، مطرح و طی مثال بررسی می‌شود.

## فرمول‌بندی مسئله

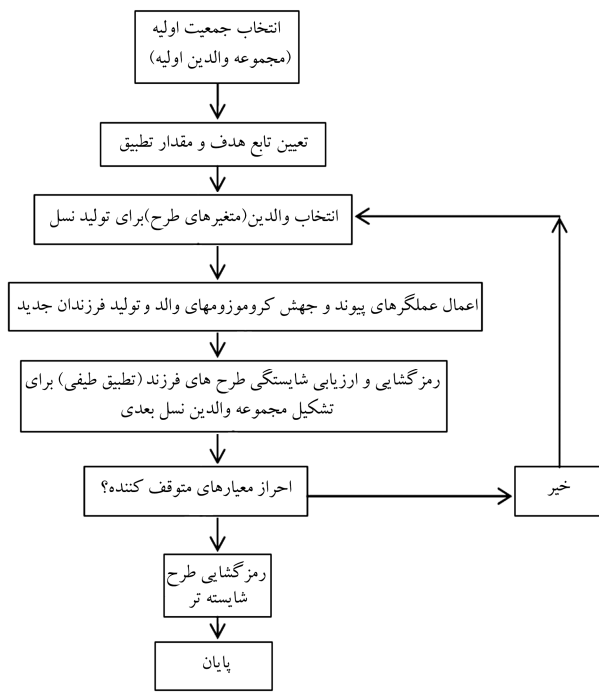
هر مسئله‌ی بهینه‌یابی با فرمول‌بندی آن شناخته و متمایز می‌شود. در اینجا ۲ فرمول‌بندی مورد بررسی قرارگرفته است. در مسئله‌ی نخست، انتخاب فقط  $K$  زوج شتاب‌نگاشت از کاتالوگ  $N$  تایی به صورت رابطه‌ی ۱ فرموله می‌شود:

یکی از چالش‌های اصلی در کاربرد تحلیل‌های تاریخچه‌ی زمانی، انتخاب شتاب‌نگاشت مبنای تحلیل است. ماهیت احتمالاتی زلزله، این امر را حتی با وجود مطالعات ساختگاهی غیرقطعی ساخته است و نیاز به افزایش اعتبار این نوع بارگذاری را مطرح می‌سازد. از سوی دیگر طیف‌های طرح آینن‌نامه‌ی را که دارای وجاهت لازم برای طراحی هستند، نمی‌توان بر یک شتاب‌نگاشت خاص منطبق دانست.

روش شناخته شده در غالب آینن‌نامه‌ها و از جمله استاندارد [۲۰، ۲۸۰۰]<sup>[۹]</sup> مقیاس‌کردن تعداد مشخصی (۳ یا ۷ زوج) شتاب‌نگاشت بر این اساس است که طیف حاصل از آن‌ها در بازه‌ی بسامدی معین کمتر از طیف استاندارد نباشد. در این شیوه عمللاً دو چالش مهم نهفته است: اولاً، بیشتر بودن طیف متوسط مقیاس شده از طیف استاندارد را محدود نمی‌سازد؛ در حالی که، شتاب‌نگاشت‌هایی که در عین رعایت ضابطه‌ی اخیر به پراکنده‌گی بالاتر مقادیر طیفی و متعاقباً پاسخ‌ها منجر شوند، مطلوب نخواهند بود.<sup>[۶-۳]</sup> ثانیاً گزینه‌های مختلف (مثلًا در قالب دسته‌های ۷ زوجی) را می‌توان از یک کاتالوگ زلزله‌ی موجود انتخاب کرد، که به طیف‌ها و در نتیجه پاسخ‌های متفاوت و همچنین

\* نویسنده مسئول

تاریخ: دریافت ۱۱/۰۶/۱۳۹۰، اصلاحیه ۲۵/۱۰/۱۳۹۰، پذیرش ۱۴/۱۲/۱۳۹۰.



شکل ۱. نمودار گردشی طرح بهینه‌سازی طیفی به کمک الگوریتم توارثی.

Maximize

$$F(X) = -Error_1 = -\frac{\sum_{T=T_1}^{T_r} (Sa_{Mean}(T) - Sa_{T \arg et}(T))}{\sum_{T=T_1}^{T_r} Sa_{T \arg et}(T)}$$

$$Sa_{Mean}(T) = \beta \sum_{i=1}^k Sa_i(T)/K$$

$$\text{Subject to } 1 \leq x_i \leq N, i = 1, 2, \dots, K \quad (1)$$

فرمول بندی دوم به صورت رابطه‌ی ۲ معرف تغییر ضرایب مقیاس شتاب‌نگاشتهای منتخب مرحله‌ی ۱ است:

Maximize

$$F(X) = -Error_2 = -\frac{\sum_{T=T_1}^{T_r} (Sa_{Mean}(T) - Sa_{T \arg et}(T))}{\sum_{T=T_1}^{T_r} Sa_{T \arg et}(T)}$$

$$Sa_{Mean}(T) = \beta \sum_{i=1}^k [Sa_i(T) \times y_i / (\sum_{j=1}^k y_j)]$$

$$\text{Subject to } y^L \leq y_i \leq y^U, i = 1, 2, \dots, K \quad (2)$$

که در آن،  $X = \{x_i\}$  بردار شماره‌ی  $K$  نگاشت منتخب از میان  $N$  زوج شتاب‌نگاشت و  $\{y_i\}$  ضرایب مقیاس آن‌هاست. پس از انتخاب رکوردها و مقیاس‌کردن آن‌ها تاوب موردنظر برای تطبیق طیفی است. پس از ضرایب حاصل از فرمول بندی ۲ بین حدود  $y^U$  و  $y^L$ ، مقادیر طیفی ( $Sa(T)$ ) در یک ضریب نهایی  $\beta$  ضرب و اصلاح می‌شوند، چنان‌که کمتر از مقادیر طیفی هدف ( $Sa_{T \arg et}(T)$ ) نباشد. سپس درصد اختلاف سطح زیر نمودار طیف حاصل و هدف یعنی  $Error_1$  در فرمول بندی ۱ و  $Error_2$  در فرمول بندی ۲ برای محاسبه‌ی تابع شایستگی  $F$  به کار می‌روند.

## مبانی نظری الگوریتم توارثی

یکی از عمومی‌ترین روش‌های بهینه‌یابی فرایندکاری، الگوریتم توارثی است. این شیوه‌ی عددی که بر فرایند بقاء‌گونهای شایسته‌تری تکامل نسل‌ها استوار است، در سال ۱۹۷۵ میلادی به طور مدون ارائه شد.<sup>[۴]</sup> این شیوه در یک فرایند تکراری، هر بار طرح شایسته‌تری ایجاد می‌کند؛ تا اینکه بهینه‌ی موردنظر با افزایش شایستگی جمعیت طی تکامل نسل‌ها حاصل شود. تعاریف اصلی الگوریتم توارثی عبارت‌اند از:

- کروموزوم: عبارت است از رشته‌ی معرف یک نقطه در فضای متغیرهای قابل طراحی،
  - زن: هر واحد (بیت) از این رشته (کروموزوم)،
  - ال: مقدار نسبت داده شده به یک زن.
- برای اجرای یک الگوریتم توارثی ابتدا متغیرهای طراحی و شیوه‌ی رمزگذاری / رمزگشایی<sup>۱</sup> آن‌هادر کروموزوم مشخص می‌شود. سپس تابع ارزیابی شایستگی بهمنزله‌ی پل ارتباطی یک متغیر بین فضای گسسته‌ی تصمیم با فضای مسئله انتخاب خواهد شد. نمودار گردشی الگوریتم توارثی استاندارد در شکل ۱ آمده است.

از آنجا که برای میانگین طیفی طبق فرمول بندی ۲ نسبت ضرایب  $\bar{y}$  به یکدیگر اهمیت دارد، بازه‌ی تغییر اولیه‌ی آن‌ها بین ۱ تا عدد تفکیک انتخابی (مثالاً  $R = 10$ ) در نظر گرفته شده است و نتایج به بازه‌ی نهایی میان حدود بالا و پایین ضرایب نگاشته می‌شود. در این شیوه طول کروموزوم ثابت است و برای صحبت عمل پیوند، زن‌های بال متابه در ۲ کروموزوم والد پیش از پیوند چنان جا بجا می‌شوند که زیر هم قرار گیرند.

همچنین با عنایت به تغییر القبای ژنتیک، طی عملگر جهش به جای تعویض  $\{1, 2, \dots, N\}$  مقدار الال فلی به طور تصادفی به عددی در بازه‌ی  $\{1, 2, \dots, N\}$  به استثنای مقدادیر زن‌های دیگر همان کروموزوم تغییر می‌یابد. در فرمول بندی ۲ مقدادیر تکراری زن‌ها مجاز است و این استثنای فقط مقدار خود آن ال جهش‌یابنده را شامل می‌شود.

۱	.	.	۱	.	۱	.	۰	۰	۰	۱
---	---	---	---	---	---	---	---	---	---	---

الف) فرمول بندی ۱:

ضریب ۱	...	ضریب آخر
۱	۱	۱

ب) فرمول بندی ۲:

شکل ۲. ساختار یک کروموزوم نمونه.

۱	۰	۰	۱	۰	۰	۰	۱
والد ۱	۰	۰	۱	۰	۰	۱	۰

والد ۲

مقادیر تجمعی یک
۱ ۱ ۱ ۲ ۲ ۳ ۳ ۳ ۴
والد ۱

مقادیر تجمعی دو
۰ ۰ ۱ ۱ ۱ ۲ ۳ ۳ ۴
والد ۲

موقعیت مجاز پیوند

_____	_____	_____	_____	_____	_____	_____	_____
-------	-------	-------	-------	-------	-------	-------	-------

شکل ۳. عملگر پیوند نمونه‌ی ویره‌ی مسئله در فرمول بندی ۱.

در این تحقیق، مسئله با یک فهرست ۱۳۶ تایی از زوج شتاب‌نگاشتهای موجود برای انتخاب در مجموعه‌های ۷ تایی با برنامه‌نویسی رایانه‌ی لازم، مورد بررسی قرار گرفته است.<sup>[۱]</sup> برای هر دسته پارامترهای کنترلی در جدول‌های ۱ و ۲ چندین اجرا صورت گرفته است و نتایج میانه در شکل‌های بعدی آمده‌اند. طیف هدف از استاندارد ۲۸۰۰ برای حاکم نوع ۲ و منطقه با لرزه‌خیزی بسیار زیاد g ۰,۳۵ اقتباس شده است. مشابه ادبیات فنی، بازه‌ی تناوبی نمونه براساس تناوب سازه ۱۶ ثانیه محاسبه و حدود ضرایب ۰,۵ و ۰,۱۵ در نظر گرفته شده‌اند.<sup>[۷]</sup> در هر شیوه‌ی رمزدهی، ابتدا دسته‌ی ۷ تایی شتاب‌نگاشته طبق فرمول بندی ۱ انتخاب شده و سپس ضرایب ترکیب آن‌ها طبق فرمول بندی ۲ بهینه‌یابی می‌شود. نتایج نمونه طی جدول‌های ۳ تا ۶ و شکل‌های ۴ تا ۷ مقایسه شده‌اند. برای اینکه تصویری از میزان برتری بهینه‌یابی بررسی و خطاب داده شده، در یک اجرا (شکل ۸) تعداد ۷ زمین لرزه به تصادف (روش مجاز در آینینه) از کاتالوگ موجود انتخاب شده‌اند (جدول ۷). مطابق نتایج جدول ۸، در این مرحله خطای نسبی محاسباتی رمزدهی دودویی ۴,۸۶٪ بوده است، که طی رمزدهی صحیح ارائه شده به ۳/۴۶٪ کاهش یافته است، چنان که روند همگرایی متناظر در شکل ۵ نیز مؤید برتری کارایی محاسباتی رمزدهی صحیح است. همچنین مقایسه‌ی رکوردهای حاصل در جدول‌های ۳ و ۴ بستگی

لذا در ادامه‌ی این پژوهش، رمزدهی به نشانه‌ی عدد صحیح به این ترتیب معروف و استفاده شده است. در این شیوه طول کروموزوم به  $K$  زن تقلیل یافته است، به طوری که مقادیر قابل انتساب به هر زن بین ۱ تا  $N$  باشد. عدد  $N$  برای فرمول بندی ۱ برابر تعداد زوج نگاشتهای موجود در کاتالوگ و در فرمول بندی ۲ معرف میزان تفکیک گسته‌ی ضرایب خواهد بود. این شیوه‌ی رمزدهی در مثال فوق به بیشینه‌ی ۱۳۶ گزینه‌ی انتخاب دسته شتاب‌نگاشته یعنی فضای جستجوی حدود ۱۰۰ برابر کوچک‌تر از شیوه‌ی رمزدهی دودویی منجر می‌شود، لذا کارایی بالاتری برای الگوریتم در جستجوی بهینه‌ی آن فضا انتظار می‌رود. مقایسه‌ی نتایج اجرای الگوریتم با هر دو شیوه‌ی رمزدهی در ادامه ارائه می‌شود.

جدول ۱. پارامترهای کنترلی روش اجرا نخست بهینه‌یابی با فرمول بندی ۱ و (۲). ( $K = 2$ ).

Mutation Probability	Crossover Probability	Crossover type	Population Size	Number of Records	Factors Coding	Work. ID
۰,۰۲	۰,۸۰	تک نقطه‌یابی	۵۰	۱۳۶	دودویی	۱
۰,۰۲	۰,۸۰	تک نقطه‌یابی	۵۰	۱۳۶	صحیح	۲

جدول ۲. پارامترهای کنترلی اجرا بهینه‌یابی برای فرمول بندی ۲.

Mutation Probability	Crossover Probability	Crossover type	Population Size	Number of Records	Factors Coding	Work. ID
۰,۰۲	۰,۸۰	تک نقطه‌یابی	۳۰	۷	دودویی	۱
۰,۰۲	۰,۸۰	تک نقطه‌یابی	۳۰	۷	صحیح	۲

#### جدول ۳. زمین‌لرزه‌های انتخابی در روش اجرای ۱.

BIG BEAR $42,^{\circ}6,28^{\circ}08:05$ , SAN BERNARDINO
BORAH PEAK $83,^{\circ}10,28^{\circ}14:06$ , PBF
CHALFANT $86,^{\circ}7,21^{\circ}14:51$ , ZACK BROTHERS RANCH
CHI-CHI $99,^{\circ}9,22^{\circ}$ , CHY $022$
LIVERMORE $80,^{\circ}1,24^{\circ}19:00$ , ANTIOCH
LOMA PRIETA $89,^{\circ}10,18^{\circ}00:05$ , MONTEREY CITY HALL
NORTHRIDGE $94,^{\circ}1,17^{\circ}12:31$ , VASQUEZ ROCKS PARK

#### جدول ۴. زمین‌لرزه‌های انتخابی در روش اجرای ۲.

BIG BEAR $42,^{\circ}6,28^{\circ}08:05$ , SAN BERNARDINO
CHALFANT $86,^{\circ}7,21^{\circ}14:51$ , ZACK BROTHERS RANCH
IRPINIA EQ, $80,^{\circ}11,22^{\circ}24:19$ , ARIENZA
LIVERMORE $80,^{\circ}1,24^{\circ}19:00$ , HAYWARD CSUH STADIUM
LOMA PRIETA $89,^{\circ}10,18^{\circ}00:05$ , COYOTE LAKE DAM SW ABUT
LYTLE CREEK $70,^{\circ}9,12^{\circ}14:30$ , CASTAIC OLD RIDGE RT
LYTLE CREEK $70,^{\circ}9,12^{\circ}14:30$ , WRIGHTWOOD

#### جدول ۵. ضرایب بهینه برای زمین‌لرزه‌های منتخب در روش اجرای ۳.

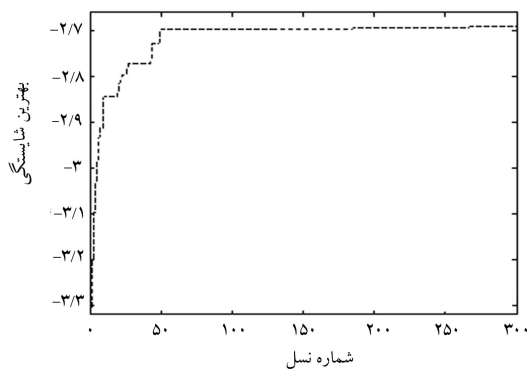
$1/35^{\circ}$	BIG BEAR $42,^{\circ}6,28^{\circ}08:05$ , SAN BERNARDINO
$1/50^{\circ}$	BORAH PEAK $83,^{\circ}10,28^{\circ}14:06$ , PBF
$1/122$	CHALFANT $86,^{\circ}7,21^{\circ}14:51$ , ZACK BROTHERS RANCH
$0/50^{\circ}$	CHI-CHI $99,^{\circ}9,20^{\circ}$ , CHY $022$
$0/50^{\circ}$	LIVERMORE $80,^{\circ}1,24^{\circ}19:00$ , ANTIOCH
$0/641$	LOMA PRIETA $89,^{\circ}10,18^{\circ}00:05$ , MONTEREY CITY HALL
$1/50^{\circ}$	NORTHRIDGE $94,^{\circ}1,17^{\circ}12:31$ , VASQUEZ ROCKS PARK

#### جدول ۶. ضرایب بهینه برای زمین‌لرزه‌های منتخب در روش اجرای ۴.

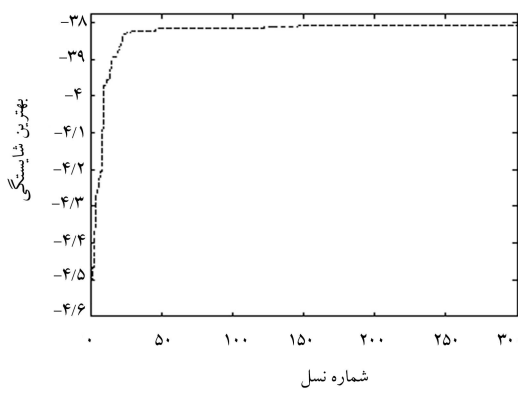
$0,729$	BIG BEAR $42,^{\circ}6,28^{\circ}08:05$ , SAN BERNARDINO
$0,999$	CHALFANT $86,^{\circ}7,21^{\circ}14:51$ , ZACK BROTHERS RANCH
$0,928$	IRPINIA EQ $80,^{\circ}22,11^{\circ}19:34$ , ARIENZA
$1,006$	LIVERMORE $80,^{\circ}1,24^{\circ}19:00$ , HAYWARD CSUH STADIUM
$1,269$	LOMA PRIETA $89,^{\circ}10,18^{\circ}00:05$ , COYOTE LAKE DAM SW ABUT
$1,187$	LYTLE CREEK $70,^{\circ}9,12^{\circ}14:30$ , CASTAIC OLD RIDGE RT
$1,180$	LYTLE CREEK $70,^{\circ}9,12^{\circ}14:30$ , WRIGHTWOOD

#### جدول ۷. زمین‌لرزه‌هایی که به طور اتفاقی از کاتالوگ انتخاب شده‌اند (ردیف اجرای ۵).

BORAH PEAK $83,^{\circ}10,28^{\circ}14:06$ , CPP-6 $\times 1$
BORAH PEAK $83,^{\circ}10,28^{\circ}14:06$ , TAN
CHI-CHI $99,^{\circ}9,20^{\circ}$ , CHY $019$
KOBE $95,^{\circ}1,16^{\circ}20:46$ , MZH
LIVERMORE $80,^{\circ}1,24^{\circ}19:00$ , SAN RAMON KODAD BLDG
LYTLE CREEK $70,^{\circ}9,12^{\circ}14:30$ , WRIGHTWOOD
NORTHRIDGE $94,^{\circ}1,17^{\circ}12:31$ , VASQUEZ ROCKS PARK

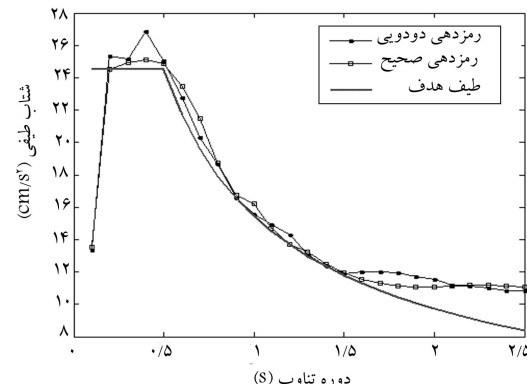


الف) رمزدهی صحیح روش اجرای ۴

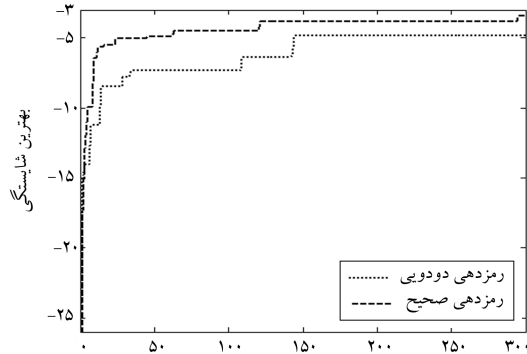


ب) رمزدهی بازبینی روش اجرای ۳

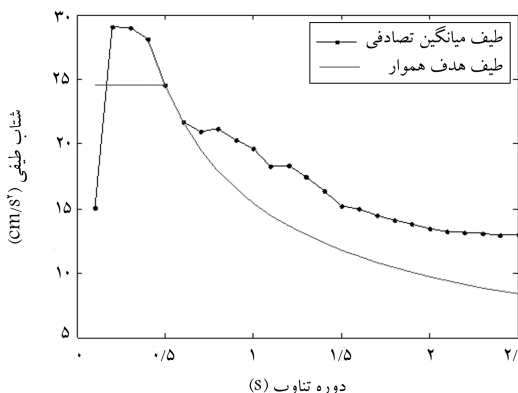
شکل ۷. روند همگرایی روش‌های مختلف در بهینه‌یابی ضرایب دسته‌ی منتخب شتاب نگاشت.



شکل ۴. مقایسه‌ی طیف حاصل از انتخاب بهینه‌ی دسته‌ی شتاب نگاشت ۷ تایی در رمزدهی دودویی با صحیح طبق فرمول‌بندی ۱.



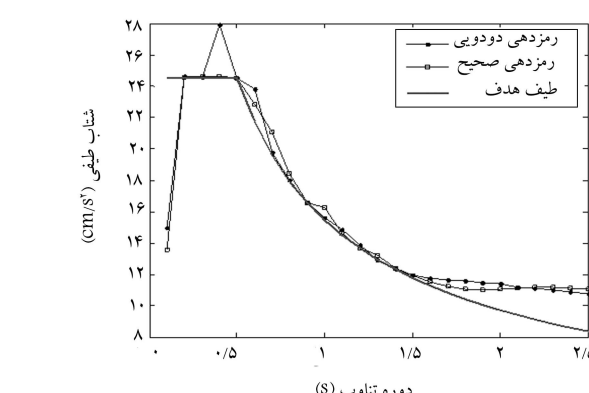
شکل ۵. مقایسه‌ی روند همگرایی رمزدهی دودویی و صحیح در انتخاب بهینه‌ی دسته‌ی شتاب نگاشت ۷ تایی.



شکل ۸. طیف حاصل از انتخاب تصادفی شتاب نگاشت‌ها.

جدول ۸. مقایسه‌ی خطای حاصل از اجرا با روش‌های مختلف.

Computational error (%)	WorkID
۱۶,۰۴	۰
۴,۸۶	۱
۳,۴۶	۲
۳,۸۱	۳
۲,۶۹	۴



شکل ۶. مقایسه‌ی طیف حاصل از بهینه‌یابی ضرایب دسته‌ی منتخب شتاب نگاشت طبق فرمول‌بندی ۲.

نتایج در تعداد محدود تکرار نسل‌ها به روش و رمزدهی به کاررفته را آشکار می‌سازد. حل مسئله با فرمول‌بندی ۱ معادل کاربرد ضرایب یکسان میانگین‌گیری است. در ادامه، با بهینه‌یابی این ضرایب برای مجموعه‌ی منتخب مرحله‌ی پیش، خطاهای نسبی به طور چشمگیری کاهش یافته است و به ترتیب ۳/۸۱ و ۲,۶۹ به رمزدهی دودویی و صحیح است. همچنین بهبود تطبیق طیفی با مقایسه‌ی شکل‌های ۴ و ۶ به خوبی مشاهده می‌شود. در این حالت نیز مقایسه‌ی روند همگرایی در شکل ۷ با پارامترهای کنترلی و تکرارهای یکسان (طبق جدول ۲) برتری رمزدهی صحیح ویژه‌ی این پژوهش را نسبت به روش دودویی نشان می‌دهد.

## نتیجه‌گیری

در این پژوهش مسئله‌ی تطبیق طیفی حاصل از رکوردهای موجود در قالب دو فرمول‌بندی ۱ و ۲ بررسی شده است. با توجه به بحث و محاسبه‌ی صورت‌گرفته در ابعاد فضای جستجو و تعدد گرینه‌ها، می‌توان دریافت که سعی و خطأ در انتخاب شتاب‌نگاشت‌ها مردود بوده است و باید الگوریتم‌های بهینه‌یابی را برای حل مسئله بهکار برد. بدین منظور از الگوریتم توارشی بهمنزله‌ی شیوه‌یی معتبر با کاربرد نوین رمزده‌یی صحیح علاوه‌بر نوع دودویی استفاده و عملگرهای لازم برای فرمول‌بندی‌های این نوشتار ویژه‌سازی شد.

طی بحث نظری آشکار شد که رمزده‌یی رایج دودویی فضای جستجویی بسیار آن نسبت به شیوه‌ی دودویی است، که علاوه‌بر بحث نظری در نتایج نیز مشاهده شد.

## پانوشت

1. coding/decoding

## منابع (References)

1. IBC, *International Building Code, 2006* International Code Council, U.S.A. (2006).
2. Iranian Code of Practice for Seismic Resistant Design of Buildings, Standard No.2800, 3rd Ed., Building and Housing Research Center (In Persain)(2005).
3. Krawinkler, H. and Alavi, B., "Development of improved design procedures for near fault ground motions", *Proc. of SMIP98, Seminar on Utilization of Strong Motion Data*, Oakland, Calif. (1998).
4. Behnamfar, F., Khodaparast, A., Bahmanzadeh, A. and "An accelerogram scaling method for non-linear dynamic analysis compared with 2800-code procedure", 4th National conference on over view of Seismic- Resis-

tant Design of Buildings Code, Standard 2800, (In Persain)(2009).

5. Kurama, Y.C. and Farrow, k.T. "Ground motion scaling methods for different site conditions and structure characteristics", *Earthquake Engineering & Structural Dynamics*, **32**(15), pp. 2425-2450 (2003),
6. Shahrouzi, M. "A new hybrid genetic and swarm optimization for earthquake accelerogram scaling", *International Journal of Optimization in Civil Engineering*, **1**(1), pp. 127-140 (2011).
7. Naeim, F., Alimoradi, A. and Pezeshk, Sh. "Selection and scaling of ground motion time histories for structural design using genetic algorithms", *Earthquake Spectra*, **20**(2), pp. 413-426 (2004).
8. Holland, H.J., *Adaptation in Natural and Artificial Systems, an Introductory Analysis with Application to Biology, Control and Artificial Intelligence*, Ann. Arbor, University of Michigan Press (1975).
9. PEER Strong Motion Database, <http://peer.berkeley.edu/smcat/>.

# IMPROVED GENETIC CODING FOR ACCELEROGRAM SET OPTIMIZATION

**M. Shahrouzi**(corresponding author)

shahruzi@knu.ac.ir

**J. Keyvani**

jkeyvani@knu.ac.ir

**S. Seif**

seif8120@yahoo.com

**Faculty of Engineering**

**Kharazmi University**

Sharif Civil Engineering Journal

Volume 29, Issue 3, Page 91-106, Original Article

© Sharif University of Technology

- Received 23 August 2011; received in revised form 15 January 2012; accepted 4 March 2012.

## Abstract

Time-history earthquake records are critical means for many earthquake engineering applications, including step-by-step numerical solution of dynamic, nonlinear or highly damped systems, seismic design of new buildings and infrastructures, seismic control, risk assessment and vulnerability evaluation of existing structures, and so on. They are provided using statistical simulated records, geological model-based artificial earthquakes or recorded accelerograms of real experienced earthquakes. The latter is preferred in many cases, due to expensive computational effort and lack of reliability in simulating events of strong ground motion using artificial methods. However, the resulted structural responses are highly sensitive to the selected earthquake record, so that their variation from one record to another is a major source of uncertainty in further design and decision making. In order to overcome such a challenge, well-known seismic design regulations have been accepted using a set of earthquake records instead of one, provided they are scaled to match a target design spectrum. It is especially beneficial in the absence of sufficient site-specific earthquake records or the impossibility of their extraction via seismic hazard analyses. As no further limitation than over-riding the design spectra is implied, the resulted mean spectrum may over-estimate the target, leading to an economically undesired design. In addition, the corresponding scale factors will not be unique for a set of records unless taken as similar or optimized by proper methods. Hence, it is reasonable to select a set of accelerograms from an available catalogue that is optimally compatible with the design spectrum; formulated as the first optimization problem in the present work. While the set of optimal records is identified, their scaling factors are also optimized as the second problem formulation. The present work employs genetic algorithm as a reliable meta-heuristic, and utilizes its operators to solve both optimization problems. In addition to conventional binary coding, an integer index coding

is also utilized for the special case of optimization problems in this research. The superiority of the integer coding over the binary type is not only discussed in reducing search space cardinality, but is also shown via the results of a numerical example, using a list of 136 earthquake records, to match the target spectra, according to the Iranian Standard of Practice; No.2800. The results also show the proposed method is highly beneficial in matching the target design spectrum, with respect to common practice, with a trial-selected, uniform-coefficient set of records.

**Key Words:** Accelerogram selection, optimization, genetic algorithm, coding.